
ЭЛЕКТРОННАЯ
И ИОННАЯ ОПТИКА

УДК 621.3.032.266

О МОДЕЛИРОВАНИИ ЛЕНТОЧНЫХ ЭЛЕКТРОННЫХ ПУЧКОВ С УЧЕТОМ НАЧАЛЬНЫХ ПОПЕРЕЧНЫХ ТЕПЛОВЫХ СКОРОСТЕЙ ЭЛЕКТРОНОВ

© 2019 г. Ю. Г. Гамаюнов¹ *, Е. В. Патрушева¹

¹Саратовский национальный исследовательский государственный университет им. Н.Г. Чернышевского, Российская Федерация, 410012 Саратов, ул. Астраханская, 83

*E-mail: GamaunovYG@info.sgu.ru

Поступила в редакцию 29.06.2018 г.

После доработки 29.06.2018 г.

Принята к публикации 31.07.2018 г.

Развит метод учета начальных поперечных тепловых скоростей электронов в сходящихся ленточных электронных пучках. Метод позволяет в параксиальном приближении через выбранные характерные траектории электронов определить основные интегральные характеристики теплового пучка как в области пушки, так и в области транспортировки. Получены уравнения движения характерных электронов, начальные условия для решения уравнений, формулы для распределения плотности тока в сечении теплового пучка, а также доли тока в его условной границе. Полученные уравнения и формулы могут быть использованы при моделировании электронно-оптических систем и выборе их параметров, при которых влияние теплового движения электронов на характеристики пучка будут в допустимых пределах.

DOI: 10.1134/S0033849419050048

ВВЕДЕНИЕ

В источниках излучения *O*-типа по мере укорочения длины волны поперечные размеры электронного пучка уменьшаются, возрастает плотность тока до десятков-сотен ампер с квадратного сантиметра, а также удельная мощность пучка. Это накладывает жесткие требования на величину токопрохождения пучка в пролетных каналах и его конфигурацию. Среди факторов, определяющих структуру таких пучков и уровень его токопрохождения, следует отметить влияние поперечных начальных тепловых скоростей электронов. Хотя средняя тепловая энергия электронов составляет доли электрон-вольта, а ускоряющее напряжение соответствует энергии электронов, превосходящей на несколько порядков тепловую, тепловое движение электронов приводит к возмущению конфигурации пучка, перераспределению плотности тока по сечению, ограничению по предельному сжатию пучка. Уже в ранних работах (см., например, [1, 2] и ссылки в них) были получены соотношения и зависимости, позволяющие судить о характеристиках ленточного теплового пучка с максвелловским распределением начальных скоростей электронов на катоде. Для электростатических пушек Пирса проведены расчеты, иллюстрирующие влияние начальных скоростей

электронов в таких пучках [2], но в них не учитывается магнитное поле в пушках, что представляется важным для электронно-оптических систем (ЭОС) источников излучения коротковолнового диапазона. Имеются также строгие расчеты для некоторых ЭОС приборов *O*-типа этого диапазона с учетом влияния тепловых скоростей электронов в пучке, проведенные с использованием программ анализа [3]. Однако из представленных результатов в [3] неясно, в какой мере тепловое движение электронов возмущает пучок. Следует также отметить, что, хотя расчеты ЭОС по программам анализа и являются наиболее строгими, они имеют существенный недостаток — трудоемкость в подготовке данных и неоперативность. Поэтому актуальным является развитие методов, которые позволяют устранить отмеченные выше ограничения, но при этом получать в целом достоверную информацию о тепловом пучке. Как представляется, это может быть реализовано на основе изложенного в работе [1] метода учета влияния тепловых скоростей электронов в модели ленточного пучка с максвелловским распределением начальных скоростей на катоде. Метод позволяет в параксиальном приближении через выбранные характерные траектории электронов определить ос-

новые интегральные характеристики теплового пучка.

Цель данной работы – обобщить этот метод. Было учтено изменение осевой плотности заряда теплового пучка в уравнениях движения, записанных в криволинейной системе координат, получены уравнения для моделирования электронно-оптических систем и расчета основных интегральных характеристик теплового пучка, в том числе при его фокусировке магнитным полем. Проведенное обобщение расширяет возможности метода [1] при исследовании влияния поперечных тепловых скоростей электронов в сходящихся ленточных электронных пучках.

1. ОСНОВНЫЕ УРАВНЕНИЯ

Для исследования влияния поперечных тепловых скоростей электронов в ленточных электронных пучках будем использовать криволинейную систему координат q_1, q_2, q_3 . Полагаем, что q_2 является параметром семейства траекторий ламинарного пучка, т.е. семейства, в котором электроны не имеют начальных тепловых скоростей. При этом если граничная траектория ламинарного пучка описывается в декартовой системе координат функцией $\Phi(x)$, то все внутренние траектории описываются функцией $y(x) = q_2\Phi(x)$, в которой значения q_2 в верхней полуплоскости изменяются в пределах $0 \leq q_2 \leq 1$. Таким образом, траектории электронов ламинарного пучка лежат на поверхностях $q_2 = \text{const}$. Другая криволинейная координата q_1 является продольной координатой и выбирается так, чтобы поверхности $q_1 = \text{const}$ были ортогональны поверхностям $q_2 = \text{const}$. Координата q_3 , совпадает с декартовой координатой z по ширине пучка. Координатам q_1, q_2, q_3 соответствуют координаты x, y, z декартовой системы координат. Введенная система координат аналогична системе координат, используемой в теории формирования осесимметричных пучков, развитой В.Т. Овчаровым (см., например, [4]). Введем также нормировочные величины продольных и поперечных размеров l и Φ_0 соответственно, параметр параксиальности $\mu = \Phi_0/l \ll 1$, нормированную продольную криволинейную координату $x_1 = q_1/l$ и нормированную функцию $\varphi(x_1) = \Phi(x_1)/\Phi_0$. Для выбранной системы координат коэффициенты Ламе в параксиальном приближении с точностью до μ^2 имеют вид

$$h_1 = 1 - \frac{\mu^2 q_2^2}{2} \varphi(x_1) \varphi''(x_1), \quad h_2 = \mu \varphi(x_1) l, \quad h_3 = 1. \quad (1)$$

Связь криволинейных координат с декартовыми координатами дается формулами

$$\frac{x}{l} = x_1 - \mu^2 q_2^2 \frac{\varphi(x_1) \varphi'(x_1)}{2},$$

$$\frac{y}{l} = \mu q_2 \varphi(x_1) \left[1 - \mu^2 q_2^2 \frac{\varphi'^2(x_1)}{2} \right], \quad z = q_3.$$

Примем, что ширина электронного пучка много больше его толщины (модель бесконечно широкого ленточного пучка). Это позволяет использовать условие $(\partial/\partial q_3) \equiv 0$ в уравнениях движения [5, с. 80], записанных в криволинейных координатах. Полагая, что в реальном, тепловом пучке известны осевые распределения плотности пространственного заряда $\rho_T(x_1)$, потенциала $U(x_1)$, магнитного поля $B(x_1)$, и, учитывая выражения (1) для коэффициентов Ламе, получим в параксиальном приближении уравнение поперечного движения электрона, стартующего на катоде из точки $x_1 = 0, q_2 = q_{2к}$:

$$\ddot{\omega} + \omega \psi_T + 4\omega \omega_L^2 = 4q_{2к} \varphi_k \omega_{Lк} \omega_L, \quad (2)$$

где $\omega = q_2(t)\varphi, \quad \psi_T = \frac{\eta U_0}{l^2} \left[u''(x_1) + \frac{\rho_T l^2}{\epsilon_0 U_0} \right], \quad \omega_L = \frac{\eta B(x_1)}{2}, \quad \omega_{Lк} = \frac{\eta B_k}{2}, \quad \varphi_k = \varphi(0), \quad B_k$ – магнитное поле на катоде, η – удельный заряд электрона, U_0 – нормировочная величина для потенциала, $u(x_1)$ – нормированный потенциал, ϵ_0 – электрическая постоянная. При выводе (2) удерживали члены, пропорциональные μ^2 , не учитывали продольную вдоль оси q_1 и поперечную вдоль оси q_3 начальные скорости электронов на катоде, а величину текущей продольной скорости электрона определяли через осевой потенциал. Выполняя дифференцирование в (2), получим уравнение относительно функции $q_2(t)$, которая определяет траекторию электрона теплового пучка в криволинейной системе координат:

$$\ddot{q}_2 + 2\dot{q}_2 \frac{\dot{\varphi}}{\varphi} + q_2 \frac{\ddot{\varphi}}{\varphi} + q_2 (\psi_T + 4\omega_L^2) = 4q_{2к} \frac{\varphi_k}{\varphi} \omega_{Lк} \omega_L. \quad (3)$$

Для функции $\varphi(x_1)$, описывающую граничную траекторию ламинарного (холодного) пучка, уравнение получается из (3), если принять $q_{2к} = q_2(t) = 1$:

$$\ddot{\varphi} + \varphi (\psi_{\text{хол}} + 4\omega_L^2) = 4\varphi_k \omega_{Lк} \omega_L. \quad (4)$$

Здесь функция $\psi_{\text{хол}}(x_1)$ определена уже через плотность пространственного заряда $\rho_{\text{хол}}(x_1)$ ламинарного пучка. При этом полагаем, что распределение осевого потенциала в ламинарном и

тепловом пучках различаются незначительно и описываются единой функцией $u(x_1)$. Поэтому функции $\psi_T(x_1)$ и $\psi_{\text{хол}}(x_1)$ отличаются только осевой плотностью пространственного заряда.

Уравнение (3) – линейное неоднородное уравнение. Его общим решением является сумма общего решения соответствующего однородного уравнения и частного решения неоднородного уравнения. В качестве фундаментальных решений однородного уравнения выберем функции $q_{\text{кр}}(t)$ и

$\mu l \varphi_{\text{к}} \sqrt{\frac{m}{2kT}} q_T(t)$ (k – постоянная Больцмана, m – масса электрона, T – температура, К), подчинив $q_{\text{кр}}(t)$ и $q_T(t)$ следующим условиям:

$$q_{\text{кр}}(0) = 1, \quad \dot{q}_{\text{кр}}(0) = 0; \quad q_T(0) = 0,$$

$$\dot{q}_T(0) = \frac{1}{\mu l \varphi_{\text{к}}} \sqrt{\frac{2kT}{m}}.$$

Функция $q_{\text{кр}}(t)$ описывает движение электрона, вылетающего с кромки катода ($q_{2\text{к}} = 1$) с нулевой скоростью, а функция $q_T(t)$ описывает движение электрона, вылетающего из центра катода с тепловой скоростью

$$(h_{2\text{к}} \dot{q}_{2\text{к}})_T = \sqrt{\frac{2kT}{m}},$$

где $h_{2\text{к}}$ – коэффициент Ламе на катоде. Частное же решение неоднородного уравнения находим методом вариации произвольных постоянных через фундаментальные решения, оно имеет вид $q_{\text{ч}}(t)q_{2\text{к}}$ и в начальный момент времени при $t = 0$ для него выполняются условия $q_{\text{ч}}(0) = \dot{q}_{\text{ч}}(0) = 0$. Таким образом, общее решение уравнения (3) для электрона, стартующего из произвольной точки $q_{2\text{к}}$ на катоде с произвольной поперечной вдоль координаты q_2 скоростью $h_{2\text{к}} \dot{q}_{2\text{к}}$, может быть записано в виде

$$q_2(t) = q_{\text{н}}(t)q_{2\text{к}} + \mu l \varphi_{\text{к}} \sqrt{\frac{m}{2kT}} q_T(t) \dot{q}_{2\text{к}}, \quad (5)$$

где $q_{\text{н}}(t) = q_{\text{кр}}(t) + q_{\text{ч}}(t)$. Из общего решения (5) следует, что для нахождения функции $q_2(t)$ однородное дифференциальное уравнение для $q_{\text{кр}}(t)$ и неоднородное уравнение для $q_{\text{ч}}(t)$ можно объединить в одно неоднородное уравнение для функции $q_{\text{н}}(t)$. Функция $q_{\text{н}}(t)$, так же как и функция $q_{\text{кр}}(t)$, описывает движение электрона, покидающего катод из точки $q_{2\text{к}} = 1$ с нулевой тепловой скоростью, но для нахождения $q_{\text{н}}(t)$ необходимо уже интегрировать неоднородное дифференциальное уравнение. Такой электрон будем называть не-тепловым. Соответственно, электрон, движение которого описывается функцией $q_T(t)$, будем называть тепловым. Уравнения для функций $q_{\text{н}}(t)$ и $q_T(t)$,

описывающих движение характерных электронов, получаются из (3), (4) и имеют вид

$$\ddot{q}_{\text{н}} + 2\dot{q}_{\text{н}} \frac{\dot{\Phi}}{\Phi} + q_{\text{н}} \left[(\psi_T - \psi_{\text{хол}}) + 4 \frac{\Phi_{\text{к}}}{\Phi} \omega_{L\text{к}} \omega_L \right] = 4 \frac{\Phi_{\text{к}}}{\Phi} \omega_{L\text{к}} \omega_L, \quad (6)$$

$$\ddot{q}_T + 2\dot{q}_T \frac{\dot{\Phi}}{\Phi} + q_T \left[(\psi_T - \psi_{\text{хол}}) + 4 \frac{\Phi_{\text{к}}}{\Phi} \omega_{L\text{к}} \omega_L \right] = 0. \quad (7)$$

Чтобы достичь точки x_1 , q_2 , электрон, покидающий катод из точки $q_{2\text{к}}$, должен иметь, согласно (5), начальную скорость $h_{2\text{к}} \dot{q}_{2\text{к}}$, равную

$$h_{2\text{к}} \dot{q}_{2\text{к}} = \frac{q_2 - q_{\text{н}}(t)q_{2\text{к}}}{q_T(t)} \sqrt{\frac{2kT}{m}}. \quad (8)$$

Это является решающим при вычислении распределения плотности тока по сечению теплового пучка. Действительно, принимая максвелловский закон распределения начальных тепловых скоростей электронов на катоде и пренебрегая, как было указано выше, продольными и поперечными вдоль осей q_1 , q_3 начальными скоростями электронов, плотность тока $j(x_1, q_2)$ в произвольной точке x_1, q_2 можно выразить в виде

$$j(x_1, q_2) = j_{\text{к}} \sqrt{\frac{m}{2kT}} \int \exp \left[-\frac{m}{2kT} (h_{2\text{к}} \dot{q}_{2\text{к}})^2 \right] d(h_{2\text{к}} \dot{q}_{2\text{к}}), \quad (9)$$

где $j_{\text{к}}$ – плотность тока на катоде. Интегрирование в (9) необходимо проводить по всем начальным скоростям электронов $h_{2\text{к}} \dot{q}_{2\text{к}}$, вылетающих из точек $q_{2\text{к}}$ на катоде и прибывающих в окрестность точки x_1, q_2 . С учетом (8), выражение (9) для плотности тока преобразуем к виду

$$j(x_1, q_2) = j_{\text{к}} \mu l \varphi_{\text{к}} \sqrt{\frac{m}{2kT}} \times \int \exp \left[-\left(\frac{q_2 - q_{\text{н}}(t)q_{2\text{к}}}{q_T(t)} \right)^2 \right] d\dot{q}_{2\text{к}}. \quad (10)$$

Величину $\dot{q}_{2\text{к}}$, которая в точке x_1, q_2 определяет скорость электрона, покидающего катод из точки $q_{2\text{к}}$, представим в виде $\dot{q}_{2\text{к}} = P(t)q_{2\text{к}}$ или $d\dot{q}_{2\text{к}} = P(t)dq_{2\text{к}}$, где функция $P(t)$ пока неизвестна. Это позволяет интегрирование в (10) по $\dot{q}_{2\text{к}}$ заменить интегрированием по поверхности катода в пределах $-1 \leq q_{2\text{к}} \leq 1$. Выполняя интегрирование, получим формулу для плотности тока теплового пучка, содержащую введенную функцию $P(t)$.

Если затем проинтегрировать выражение для плотности тока по координате q_2 , для определения доли тока $^1 I/I_0$ в пределах условной границы

¹ В выражении для доли тока величина I_0 – ток катода, который равен $I_0 = j_{\text{к}} s \int_{-1}^1 h_{2\text{к}} dq_{2\text{к}} = 2j_{\text{к}} \mu l \varphi_{\text{к}} s$.

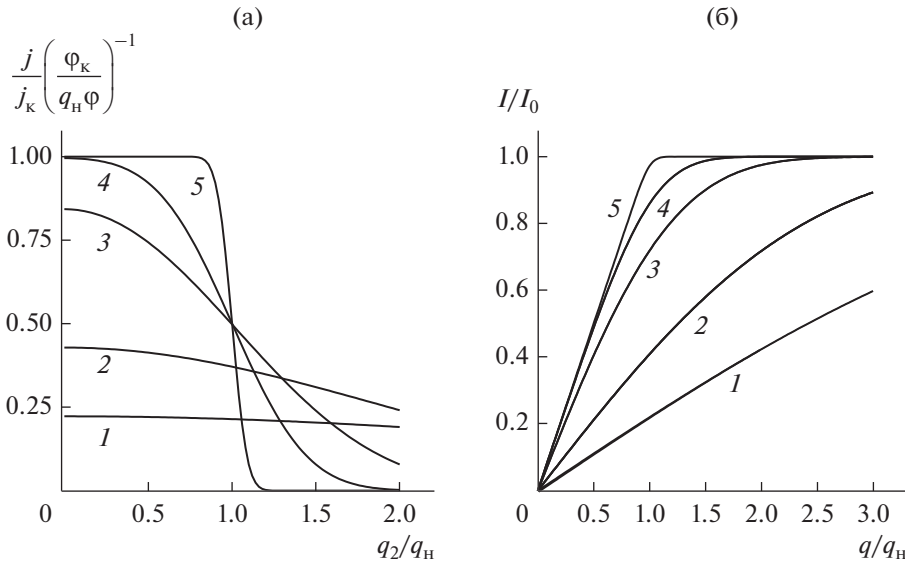


Рис. 1. Распределение плотности тока в тепловом пучке (а) и доля тока (б) в границах пучка, отстоящих симметрично от плоскости $q_2 = 0$ на величину q для значений $(q_n/q_T) = 0.2$ (1), 0.4 (2), 1 (3), 2 (4), 10 (5).

$q_2 = \pm q$ теплового пучка и устремить $q \rightarrow \infty$ в полученном выражении, то, очевидно, должны получить $I/I_0 = 1$. Это позволяет определить функцию $P(t)$. В итоге выражения для плотности тока теплового пучка в произвольной точке x_1, q_2 и для доли тока в пределах его условной границы примут вид

$$j(x_1, q_2) = \frac{1}{2} j_k \frac{\Phi_k}{q_n \Phi} \times \left[\operatorname{erf} \left(\frac{q_n}{q_T} \left(\frac{q_2}{q_n} + 1 \right) \right) - \operatorname{erf} \left(\frac{q_n}{q_T} \left(\frac{q_2}{q_n} - 1 \right) \right) \right], \quad (11)$$

$$\begin{aligned} \frac{I}{I_0} = & \frac{1}{2} \left(\frac{q}{q_n} + 1 \right) \operatorname{erf} \left(\frac{q_n}{q_T} \left(\frac{q}{q_n} + 1 \right) \right) - \\ & - \frac{1}{2} \left(\frac{q}{q_n} - 1 \right) \operatorname{erf} \left(\frac{q_n}{q_T} \left(\frac{q}{q_n} - 1 \right) \right) + \\ & + \frac{q_T}{2\sqrt{\pi}q_n} \exp \left(-\frac{q_n^2}{q_T^2} \left(\frac{q}{q_n} + 1 \right)^2 \right) - \\ & - \frac{q_T}{2\sqrt{\pi}q_n} \exp \left(-\frac{q_n^2}{q_T^2} \left(\frac{q}{q_n} - 1 \right)^2 \right), \end{aligned} \quad (12)$$

где $\operatorname{erf}(u) = \frac{2}{\sqrt{\pi}} \int_0^u \exp(-\xi^2) d\xi$ интеграл вероятности. На рис. 1 представлены зависимости, отображающие изменение плотности тока по сечению теплового пучка и относительную величину тока в его границах, параметром является отношение q_n/q_T . Если условная граница совпадает с траекторией нетеплового электрона, т.е. $q = q_n$ и $q_n/q_T > 1$, то с хорошим приближением доля тока

может быть найдена при асимптотическом разложении интеграла вероятности:

$$\frac{I}{I_0} = 1 - \frac{q_T}{2\sqrt{\pi}q_n}. \quad (13)$$

Полученные формулы (11), (12) и зависимости, представленные на рис. 1, по виду аналогичны таковым в [1, 2], но отличаются тем, что в них учтено влияние магнитного поля на характеристики теплового пучка через значения функций $q_n(t), q_T(t)$, которые определены уравнениями (6), (7).

Для объемной плотности пространственного заряда на оси теплового пучка ($q_2 = 0$) из выражения (11) имеем

$$\rho_T(x_1) = \frac{I_0}{2\mu l s q_n \Phi(x_1) \sqrt{2\eta u(x_1)} U_0} \operatorname{erf} \left(\frac{q_n}{q_T} \right).$$

Аналогично объемная плотность пространственного заряда на оси ламинарного пучка будет:

$$\rho_{\text{хол}}(x_1) = \frac{I_0}{2\mu l s \Phi(x_1) \sqrt{2\eta u(x_1)} U_0}.$$

Подставляя полученные выражения для $\rho_T(x_1)$ и $\rho_{\text{хол}}(x_1)$ в уравнения (6), (7), получим самосогласованную систему уравнений, в которой учтено взаимное влияние двух факторов: пространственного заряда $\rho_T(x_1)$ на движение электронов в тепловом пучке и движение электронов на плотность пространственного заряда. В этих уравнениях, а также в уравнении (4) удобно перейти к дифференцированию по координате x_1 и вместо магнитных полей $B(x_1)$ и B_k ввести, как это сделано в [6],

величины их превышения над бриллюэновским полем для ламинарного пучка с нормированной в кроссовере полутолщиной $\varphi_0 = d/2\Phi_0$ (d – толщина пучка). Уравнения примут вид

$$q_n'' + \frac{1}{2}q_n' \left(\frac{u'}{u} + 4 \frac{\varphi'}{\varphi} \right) + \frac{in(x_1)(n_0^2 - 1)}{2\varphi un_0} (q_n - 1) = \frac{iq_n}{2\varphi u} \left[\frac{1}{q_n} \operatorname{erf} \left(\frac{q_n}{q_T} \right) - 1 \right], \quad (14)$$

$$q_T'' + \frac{1}{2}q_T' \left(\frac{u'}{u} + 4 \frac{\varphi'}{\varphi} \right) + \frac{in(x_1)(n_0^2 - 1)}{2\varphi un_0} q_T = \frac{iq_T}{2\varphi u} \left[\frac{1}{q_n} \operatorname{erf} \left(\frac{q_n}{q_T} \right) - 1 \right], \quad (15)$$

$$\varphi'' + \frac{u'}{2u} \varphi' + \frac{u''}{2u} \varphi + \frac{in(x_1)}{2u} \times \left[n(x_1) \frac{\varphi}{\varphi_0} - \frac{n_0^2 - 1}{n_0} \right] = \frac{i}{2u^{3/2}}, \quad (16)$$

где n_0 – превышение рабочего магнитного поля над бриллюэновским полем, $B_{\text{бр}} = 1.04 \times 10^{-3} \sqrt{\frac{p_\mu U_0}{sd}}$ (тесла, вольт, миллиметр), p_μ – микропереванс пучка, s – ширина пучка, $n(x_1)$ – текущее превышение, $i = 0.0952 p_\mu / \mu \mu_1$, $\mu_1 = s/l$. Уравнение (16) совпадает с уравнением внутренней задачи синтеза сходящихся ленточных электронных пучков и описывает формирование ламинарных пучков при частичной магнитной экранировке катода. Решение этого уравнения, включающее определение распределения осевого потенциала $u(x_1)$ и магнитного поля $n(x_1)$, обеспечивающих формирование ламинарного электронного пучка с заданными параметрами, согласованно входящего в область рабочего магнитного поля, представлено в [6]. Там же представлено и решение внешней задачи синтеза для определения конфигурации электродов формирующей системы. Результаты решения уравнения (16) необходимо использовать при интегрировании уравнений (14), (15) для нахождения функций $q_n(x_1)$, $q_T(x_1)$, через которые по формулам (11)–(13) определены основные интегральные характеристики теплового пучка.

Таким образом, решение системы уравнений (14)–(16) позволяет получить достаточно полную информацию о том, в какой мере реальный тепловой пучок, в котором учтены начальные скорости электронов, будет отличаться от ламинарного электронного пучка с граничной траекторией в области пушки, описываемой функцией $\varphi(x_1)$ и имеющий в кроссовере и регулярной области магнитного поля нормированную полутолщину φ_0 . Уравнения (14)–(16) могут

быть использованы для исследования эффектов тепловых скоростей и при формировании пучка пушками с экранированным от магнитного поля катодом и пушками с сопровождением пучка магнитным полем. В первом случае в уравнениях множитель $(n_0^2 - 1)/n_0$ следует принять равным нулю (рабочее магнитное поле равно бриллюэновскому полю), а во втором случае заменить его на n_0 и задать нормированное магнитное поле $n(x_1)$ формулой $n(x_1) = n_0 \varphi_0 / \varphi(x_1)$. Особенности решения уравнения (16) в этих случаях представлены в работах [7, 8]. Уравнения (14), (15) упрощаются для области транспортировки, где $\varphi(x_1) = \varphi_0$. Так как в этой области осевой потенциал $u(x_1) = 1$ и нормированное осевое магнитное поле $n(x_1) = n_0$, то в уравнениях (14), (15) будут отсутствовать производные от $u(x_1)$ и $\varphi(x_1)$, а уравнение (16) превратится в тождество.

Численное интегрирование уравнений (14)–(16) непосредственно от катода ($x_1 = 0$) невозможно, так как $u(0) = 0$. Поэтому необходимо сформулировать условия для функций $q_n(x_1)$, $q_T(x_1)$ вблизи катода. Из физических соображений ясно, что вблизи катода плотности объемного пространственного заряда в тепловом и ламинарном пучках близки. В этом случае $\operatorname{erf}(q_n/q_T) \approx 1$. Поэтому решение уравнения (14) вблизи катода будет

$$q_n(x_1) = 1, \quad q_n'(x_1) = 0. \quad (17)$$

Физически равенство $q_n(x_1) = 1$ означает, что траектория нетеплового электрона вблизи катода совпадает с граничной траекторией ламинарного пучка, для которого $q_2(x_1) = 1$. Траектории будут совпадать и в общем случае, если в области формирования или транспортировки $\operatorname{erf}(q_n/q_T) \approx 1$ (отметим, что полученная ранее формула (13) будет тогда определять долю тока в границах ламинарного пучка, т.е. при $q_2 = \pm 1$).

Определение начальных условий для функции $q_T(x_1)$, которая описывает траекторию теплового электрона, проведем, полагая, что вблизи катода

$$n(x_1) \approx n_k = \frac{(n_0^2 - 1)\varphi_0}{n_0\varphi_k}, \quad \varphi(x_1) \approx \varphi_k \quad \text{и} \\ \frac{\varphi'(x_1)}{\varphi(x_1)} \ll \frac{u'(x_1)}{u(x_1)}.$$

Первое условие следует из сопровождения ламинарного пучка магнитным полем вблизи катода в

² Равенство $\varphi(x_1) = \varphi_0$ выполняется только при согласованном вводе ламинарного пучка в рабочее магнитное поле области транспортировки. При формировании пучка пушками с сопровождением ламинарного пучка в области транспортировки будет пульсировать.

пушках с частичной магнитной экранировкой катода, а второе условие является следствием изменения осевого потенциала по закону $u(x_1) \approx kx_1^{4/3}$, который получается из уравнения (16), $k = (9i/4\phi_k)^{2/3}$. Эти условия всегда выполняются в ЭОС в режиме ограничения тока пространственным зарядом. Кроме того, так как вблизи катода правая часть уравнения (15) оказывается равной нулю, то, как показано в Приложении, решение этого уравнения будет иметь вид

$$q_T(x_1) = \frac{0.06n_0}{n_0^2 - 1} \sqrt{\frac{s}{d\lambda}} \sin \left[\left(18 \frac{i\phi_0^3}{\phi_k^4} \right)^{1/6} \frac{(n_0^2 - 1)}{n_0} x_1^{1/3} \right], \quad (18)$$

$$q'_T(x_1) = 0.02 \sqrt{\frac{s}{d\lambda}} \left(18 \frac{i\phi_0^3}{\phi_k^4} \right)^{1/6} \times x_1^{-2/3} \cos \left[\left(18 \frac{i\phi_0^3}{\phi_k^4} \right)^{1/6} \frac{(n_0^2 - 1)}{n_0} x_1^{1/3} \right], \quad (19)$$

где $\lambda = \sqrt{p_\mu U_0/T}$ – параметр тепловых скоростей. Такой же параметр введен в [1] при исследовании эффектов тепловых скоростей в электростатических пушках Пирса, формирующих аксиально симметричные электронные пучки. Полученные формулы (18), (19) следует использовать при численном интегрировании уравнения (15), вычисляя по ним значения функции $q_T(x_1)$ и ее производной вблизи катода, отступив, например, от катода на малый шаг интегрирования.

2. ПРИМЕР ИСПОЛЬЗОВАНИЯ ПОЛУЧЕННЫХ СООТНОШЕНИЙ

Рассмотрим модель ЭОС, в которой распределение потенциала в области формирования $0 \leq x_1 \leq 1$ описывается соотношением $u(x_1) = kx_1^{4/3}$, $u(1) = 1$. Распределение потенциала по закону 4/3 характерно для ЭОС, формирующей ламинарный пучок без компрессии, когда $\phi_k = \phi_0$. Если положить $\phi_k = 1$, что всегда можно сделать выбором нормирующей величины Φ_0 , то значение параметра $i = 4/9$. В области транспортировки, т.е. при $x_1 \geq 1$, осевой потенциал $u(x_1) = 1$, а уровень фокусирующего магнитного поля имеет нормированную величину n_0 . Пусть в плоскости $x_1 = 1$, т.е. на аноде, магнитное поле скачком уменьшается от величины n_0 до величины $n_k = (n_0^2 - 1)/n_0$. Это обеспечивает согласованный ввод ламинарного пучка постоянного сечения из области формирования (пушки) в область транспортировки при условии сопровождения пучка магнитным полем с уровнем n_k в области пушки. Будем также полагать, что тепловые скорости электронов слабо

возмущают тепловой пучок. Поэтому движение электронов теплового пучка будет происходить на фоне пространственного заряда ламинарного пучка. Подобное приближение использовали в [1, 2] при исследовании эффектов тепловых скоростей в электростатических пушках Пирса и в [5] при выводе формулы для плотности тока в тепловом аксиально-симметричном пучке. При сделанных предположениях формулы (17)–(19) оказываются справедливыми во всей области пушки, а не только вблизи катода, так как выполнено условие $\text{erf}(q_H/q_T) \approx 1$. Поэтому в плоскости $x_1 = 1$

(анода) будем иметь $\tilde{q}_H = 1, \tilde{q}'_H = 0$,

$$\tilde{q}_T = \frac{0.06n_0}{n_0^2 - 1} \sqrt{\frac{s}{d\lambda}} \sin \left[(18i)^{1/6} \frac{n_0^2 - 1}{n_0} \right], \quad (20)$$

$$\tilde{q}'_T = 0.02 \sqrt{\frac{s}{d\lambda}} (18i)^{1/6} \cos \left[(18i)^{1/6} \frac{n_0^2 - 1}{n_0} \right]. \quad (21)$$

Полученные значения функции \tilde{q}_T и ее производной являются начальными условиями для определения этой функции из уравнения (15) в области транспортировки. Решение уравнения (15) в этой области с начальными условиями (20), (21) имеет вид

$$q_T(x_1) = \tilde{q}_T \sqrt{1 + \frac{2}{i(n_0^2 - 1)} \left(\frac{\tilde{q}'_T}{\tilde{q}_T} \right)^2} \times \sin \left[\sqrt{\frac{i(n_0^2 - 1)}{2}} (x_1 - 1) + \psi \right], \quad (22)$$

где $\text{tg}^2 \psi = \frac{i(n_0^2 - 1)}{2} \left(\frac{\tilde{q}_T}{\tilde{q}'_T} \right)^2$. Так как в области транс-

портировки функция $q_H(x_1) = 1$, а функция $q_T(x_1)$ периодическая, то периодической функцией будет и отношение $\frac{q_H(x_1)}{q_T(x_1)} = \frac{1}{q_T(x_1)}$, которое по формулам (11)–(13), определяет основные интегральные характеристики пучка, в том числе его условную границу с заданным уровнем I/I_0 токосодержания (из уравнения (12) она может быть найдена). Поэтому эта граница будет пульсировать в пролетном канале с чередованием узлов, где $q_T(x_1) = 0$ (аргумент синуса кратен π), и пучностей, когда аргумент синуса принимает значения $\pi/2, 3\pi/2, 5\pi/2, 7\pi/2$ и т.д. При значениях аргумента $3\pi/2, 7\pi/2$ и т.д. величина $q_T(x_1) < 0$, но по модулю она максимальна. Отрицательное значение $q_T(x_1)$ физически означает, что тепловой электрон пересек плоскость $q_2 = 0$ и находится в нижней полуплоскости. Но так как движение электронов пучка симметрично относительно плоскость $q_2 = 0$, то

величину $q_r(x_1)$ в формуле (22) в этих случаях следует брать по модулю. В узлах распределение плотности тока по сечению теплового пучка и его конфигурация, будет как в ламинарном пучке. В

пучностях же расплывание теплового пучка максимально и, например, в границах ламинарного пучка, в соответствии с формулами (13), (22) доля тока будет выражаться формулой:

$$\frac{I}{I_0} = 1 - \frac{0.06n_0}{2\sqrt{\pi}(n_0^2 - 1)} \sqrt{\frac{s}{d\lambda}} \sqrt{\sin^2 \left[(18i)^{1/6} \frac{(n_0^2 - 1)}{n_0} \right]} + 0.58 \frac{(n_0^2 - 1)}{i^{2/3} n_0^2} \cos^2 \left[(18i)^{1/6} \frac{(n_0^2 - 1)}{n_0} \right]. \quad (23)$$

Из формулы (23) видно, что доля тока в границах ламинарного пучка зависит от величины $\sqrt{s/d\lambda}$, т.е. от электрических и геометрических параметров пучка, и от уровня фокусирующего поля. На рис. 2 представлены результаты расчета I/I_0 по этой формуле в зависимости от превышения рабочего магнитного поля над бриллюэновским полем для различных значений $\sqrt{s/d\lambda}$. Эти зависимости могут быть использованы для оценки величины токопрохождения теплового пучка в пролетном канале для случая некомпрессионной оптики. Так, если параметры ЭОС, как в [3] ($I_0 = 0.1$ А, $U_0 = 20000$ В, $T = 1200$ К, $B_0 = 1.12$ Т, $s = 0.7$ мм, $d = 0.1$ мм), то $\sqrt{s/d\lambda} = 3.44$, $n_0 = 10.8$, и из зависимостей рис. 2 следует, что в такой ЭОС тепловые скорости электронов на характеристики пучка и его токопрохождение в канале практически не влияют, так как почти весь ток теплового пучка в пучностях сосредоточен в границах ламинарного пучка. Ясно, что для сходящихся электронных пучков

необходимо численно интегрировать уравнения (14)–(16), а затем использовать формулы (11)–(13).

ЗАКЛЮЧЕНИЕ

Изложенный метод учета влияния начальных тепловых скоростей электронов дает возможность оперативно получать информацию об основных интегральных характеристиках тепловых электронных пучков. Его можно рассматривать как дополнение к методу синтеза при моделировании электронно-оптических систем, поскольку имеется возможность обоснованно выбирать параметры пучка, компрессию пушки, уровень фокусирующего магнитного поля, при которых влияние теплового движения электронов на характеристики пучка будут в допустимых пределах. Последнее является важным при разработке электронно-оптических систем для источников излучения O -типа коротковолнового диапазона.

Авторы признательны Д.И. Трубецкову за проявленный интерес к работе и сделанные замечания.

Работа выполнена при финансовой поддержке Российского фонда фундаментальных исследований (проект № 18-02-00666).

ПРИЛОЖЕНИЕ

При условиях, принятых выше, уравнение (14) вблизи катода примет вид

$$q_r'' + \frac{2}{3x_1} q_r' + \frac{i\varphi_0}{2kx_1^{4/3}} \frac{(n_0^2 - 1)^2}{\varphi_k^2 n_0^2} q_r = 0. \quad (\text{П.1})$$

Решение уравнения, удовлетворяющее условию $q_r(0) = 0$, имеет вид

$$q_r(x_1) = A \sin \left[3 \sqrt{\frac{i\varphi_0}{2k\varphi_k^2}} \frac{(n_0^2 - 1)}{n_0} x_1^{1/3} \right], \quad (\text{П.2})$$

$$q_r'(x_1) = \frac{A}{x_1^{2/3}} \sqrt{\frac{i\varphi_0}{2k\varphi_k^2}} \frac{(n_0^2 - 1)}{n_0} \times \cos \left[3 \sqrt{\frac{i\varphi_0}{2k\varphi_k^2}} \frac{(n_0^2 - 1)}{n_0} x_1^{1/3} \right], \quad (\text{П.3})$$

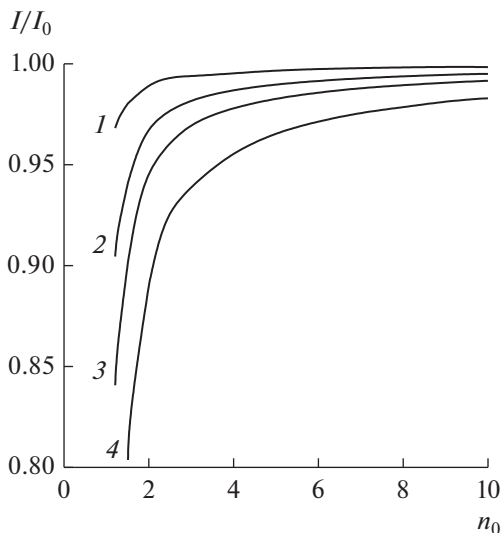


Рис. 2. Относительная величина тока теплового пучка в границах ламинарного пучка в зависимости от превышения магнитного поля над бриллюэновским полем. Параметр $\sqrt{s/d\lambda} = 1$ (1), 3 (2), 5 (3), 10 (4).

где A – произвольная постоянная. В рамках параксиального приближения вблизи катода имеем

$$q'_T(x_1) = \dot{q}_T(t) \frac{l}{\sqrt{2\eta k U_0 x_1^{2/3}}}.$$

Поэтому при $x_1 \rightarrow 0$, учитывая значение $\dot{q}_T(0) = \frac{1}{\mu/\varphi_k} \sqrt{\frac{2\kappa T}{m}}$ и соотношение (П.3), будем иметь

$$A \sqrt{\frac{i\varphi_0}{2} \frac{(n_0^2 - 1)}{n_0}} = \frac{1}{\mu} \sqrt{\frac{\kappa T}{eU_0}}$$

и, следовательно,

$$q_T(x_1) = \frac{1}{\mu} \sqrt{\frac{2}{i\varphi_0} \frac{n_0}{(n_0^2 - 1)}} \sqrt{\frac{\kappa T}{eU_0}} \times \sin \left[3 \sqrt{\frac{i\varphi_0}{2k\varphi_k^2} \frac{(n_0^2 - 1)}{n_0}} x_1^{1/3} \right]. \quad (\text{П.4})$$

Параметр μ в уравнении (П.4) представим в виде

$$\mu = \sqrt{\frac{0.0952 p_\mu d}{2\varphi_0 i s}}.$$

В итоге будем иметь

$$q_T = \frac{0.06 n_0}{n_0^2 - 1} \sqrt{\frac{s}{d\lambda}} \sin \left[\left(18 \frac{i\varphi_0^3}{\varphi_k^4} \right)^{1/6} \frac{(n_0^2 - 1)}{n_0} x_1^{1/3} \right],$$

$$q'_T(x_1) = 0.02 \sqrt{\frac{s}{d\lambda}} \left(18 \frac{i\varphi_0^3}{\varphi_k^4} \right)^{1/6} x_1^{-2/3} \times \cos \left[\left(18 \frac{i\varphi_0^3}{\varphi_k^4} \right)^{1/6} \frac{(n_0^2 - 1)}{n_0} x_1^{1/3} \right],$$

где $\lambda = p_\mu U_0 / T$ – параметр тепловых скоростей.

СПИСОК ЛИТЕРАТУРЫ

1. Кириштейн П., Кайно Г., Уотерс У. Формирование электронных пучков. М.: Мир, 1970.
2. Алямовский И.В. Электронные пучки и электронные пушки. М.: Сов. радио, 1966.
3. Каретникова Т.А., Рожнев А.Г., Рыскин Н.М. и др. // РЭ. 2016. Т. 61. № 1. С. 54.
4. Невский П.В. // Обзоры по электронной технике. Сер. 1. Электроника СВЧ. 1989. Вып. 15. С. 48.
5. Молоковский С.И., Сушков Ф.Д. Интенсивные электронные и ионные пучки. М.: Энергоатомиздат, 1991.
6. Гамаюнов Ю.Г., Патрушева Е.В. // РЭ. 2017. Т. 62. № 11. С. 1126.
7. Гамаюнов Ю.Г., Патрушева Е.В. // Матер. Междунар. науч.-техн. конф. АПЭП-2016. Саратов. 22–23 сентября, 2016. С. 30.
8. Гамаюнов Ю.Г., Патрушева Е.В. // Матер. Междунар. науч.-техн. конф. АПЭП-2014. Саратов. 25–26 сентября, 2014. С. 5.